

в ориентации молекула, — это особые линии, наз. **дисклиникациями**, на к-рых направление \mathbf{L} не определено. Дисклиникация характеризуется индексом (силой) m — числом, показывающим, что при обходе дисклиникации по замкнутому контуру в перпендикулярной ей плоскости директор \mathbf{L} поворачивается на угол $2\pi m$ (рис. 5, б). Особые точки на рис. 5, б являются выходом дисклиникаций на плоскость рисунка. Число m может быть целым или полуцелым и сохраняется вдоль дисклиникации.

Смектические Ж. к. (от греч. smēgma — мыло) характеризуются $\mathbf{L} = \text{const}$, а $\rho(\mathbf{r})$ периодична вдоль выделенной оси z и постоянна в плоскости xy (рис. 6).

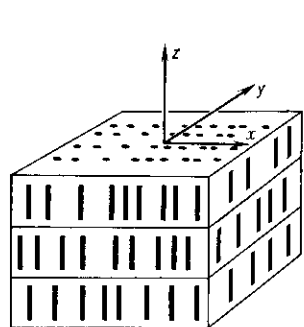


Рис. 6. Смектические жидкокристаллы типа А.

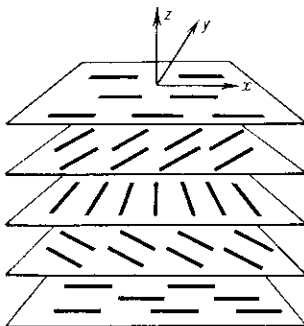


Рис. 7. Холестерические жидкокристаллы.

Молекулы расположены слоями, к-рые могут скользить относительно друг друга, обуславливая текучесть таких Ж. к. вдоль слоёв. Относительно нагружения перпендикулярно этим слоям (оси z) они ведут себя как твёрдое тело.

Холестерические Ж. к. характеризуются $\rho(\mathbf{r}) = \text{const}$ и макроскопич. модулированной структурой, причём концы векторов \mathbf{L} образуют в пространстве спираль (рис. 7). В плоскости xy холестерич. Ж. к. обладают такой же текучестью, как нематич. Ж. к., а вдоль оси спирали (оси z) их механич. свойства сходны со свойствами смектич. Ж. к.

Макроскопич. описание с помощью директора \mathbf{L} отражает анизотропию взаимной корреляции между положениями разл. атомов в Ж. к. Всё многообразие жидкокристаллич. структур и возможных структурных превращений в Ж. к. описывается с помощью многочастичных корреляций в расположении атомов. В случае структур, обладающих центром симметрии, исследуется парная межатомная корреляци. ф-ция $\rho_{12}(\mathbf{r}_{12})$, где \mathbf{r}_{12} — расстояние между атомами 1 и 2, а $\rho_{12}dV_2$ вероятность найти атом 2 в объёме dV_2 при заданном положении атома 1. Экспериментально ф-ция $\rho_{12}(\mathbf{r}_{12})$ находится по её фурье-образу $\rho_{12}(q)$ в обратном пространстве q методами *рентгеновского структурного анализа*. Используя распределение интенсивностей в разл. рефлексах, получают ряд характеристик жидкокристаллич. фаз: ф-цию распределения проекций осей молекул на плоскость xy , перпендикулярную директору \mathbf{L} ; ф-цию угл. распределения осей молекул $D(\vartheta)$, описывающую статистику угл. разброса длинных молекулярных осей около гл. оси \mathbf{L} ; ф-цию поворотов $f(\varphi)$, характеризующую статистику поворотов коротких молекулярных осей в плоскости xy .

В нематич. фазе ф-ция $\rho_{12}(\mathbf{r}_{12})$ экспоненциально спадает на больших расстояниях. Для описания хиральных структур (см. *Хиральная симметрия молекул*), напр. холестерич. Ж. к., не имеющих плоскостей симметрии, необходимы более сложные корреляци. ф-ции, напр. четырёхчастичные корреляции между положениями атомов.

Смектические Ж. к. имеют большое число модификаций (смектич. фаз. A , B , C , ...), различающихся симметрией и особенностями корреляци. ф-ций. В фазе A (рис. 6).

Ф-ция $\rho_{12}(\mathbf{r}_{12})$ имеет сложную степенную зависимость, что обусловлено неиздеальностью дальнего трансляц. порядка вдоль единств. направления z в неограниченном трёхмерном теле (по двум направлениям в плоскости xy есть только ближний трансляц. порядок). В слоях конечной толщины тепловые флуктуации не могут нарушить трансляц. порядок фазы A вдоль выделенной оси z . Смектич. фаза C (рис. 8) имеет такую же слоистую структуру, что и фаза A , однако преимущество направление длинных осей палочкообразных молекул составляет нек-рый угол ϑ с нормалью к смектич. плоскостям. Если молекулы хиральны, то они поворачиваются от слоя к слою относительно z , образуя спиральную струк-

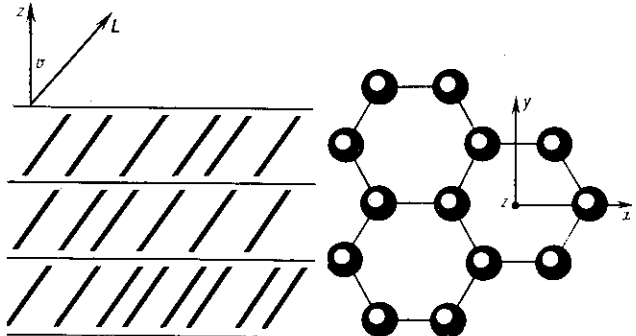


Рис. 8. Смектическая фаза С. Рис. 9. Смектическая фаза В (показаны проекции молекул на плоскость слоя).

туру (фаза \tilde{C}). Шаг спирали $h=2\pi/\alpha$, где τ — толщина слоя, α — угол поворота молекул в двух соседних слоях.

Фаза B , в отличие от фаз A и C , обладает гексагональной упорядоченностью в плоскости xy , если образец имеет толщину, много большую длины молекулы (рис. 9). При этом различают 2 типа фаз B : 1) с б-функциональной зависимостью $\rho_{12}(q)$, что соответствует трёхмерному упорядочению центров масс молекул, степень к-рого зависит от величины межплоскостного взаимодействия; 2) с зависимостью $\rho_{12}(q) \sim r_0^2 [1 + r_0^2(q - k)]^{-1}$, где r_0 — корреляц. радиус, k — вектор обратной решётки, что соответствует дальнему ориентац. порядку межмолекулярных связей и ближнему трансляц. порядку центров масс молекул в плоскости xy . Возможно, что нек-рые низкосимметричные смектич. Ж. к., существующие при более низких темп-рах, являются, как и фаза B типа 1, пластичными трёхмерными кристаллами.

Если толщина смектич. Ж. к. сравнима с длиной молекулы, дальний трансляц. и ориентац. порядок невозможен вследствие сильных тепловых флуктуаций положения центра масс и ориентации молекул. Однако в этом случае при понижении темп-ры происходит фазовый переход в состояние, к-рое характеризуется степенной зависимостью корреляций в положении центров масс и ориентации молекул, пропорциональной $|q - k|^{-2+2n}$, где n — критич. индекс (см. *Фазовый переход*).

Фазовые превращения. Фазовые переходы между жидкокристаллич. модификациями трактуются как точки изменения симметрии вещества и описываются феноменологич. теорией Ландау. Параметрами порядка в Ж. к., характеризующими нарушение симметрии, являются разл. величины. Напр., в одноосном нематич. Ж. к. параметром ориентац. порядка, описывающим фазовый переход I рода между изотропной жидкостью и нематич. Ж. к., служит тензор с компонентами:

$$S_{ik}(\mathbf{r}) = S(\mathbf{r}) \left[L_i(\mathbf{r}) L_k(\mathbf{r}) - \frac{1}{3} \delta_{ik} \right] \quad (1)$$

(δ_{ik} — символ Кронекера), где степень порядка $S(\mathbf{r})$ определяется долю молекулярных осей, ориентированных вдоль $L(\mathbf{r})$ в данной точке. Выше темп-ры перехода $S=0$, в точке перехода S изменяется скачком до значе-